

УДК 621.315.592

© 1990

ПОГЛОЩЕНИЕ ЗВУКА ПОДВИЖНЫМИ НОСИТЕЛЯМИ В КОРРЕЛИРОВАННОЙ СПИНОВОЙ СИСТЕМЕ

A. A. Голуб, О. Ю. Маштаков, В. И. Котруцэ

Исследовано поглощение звука подвижными дырками в модели Хаббарда для моттовского диэлектрика. Рассмотрен случай антиферромагнетика. Движение отдельной дырки носит диффузионный характер благодаря взаимодействию ее с магнитным фоном. Для расчета использовано приближение, в котором не учитываются вклады в функции Грина от замкнутых путей (суммирование на дереве Кейли).

Открыты недавно материалы, обладающие высокотемпературной сверхпроводимостью, имеют также интересные магнитные свойства [1]. В отсутствие легирования или при слабом допировании примесями они являются антиферромагнетиками. Антиферромагнетизм связан с обменным гейзенберговским взаимодействием локализованных на ионах меди (Cu^{++}) спинов. Движение отдельной дырки носит диффузионный характер благодаря ее взаимодействию с магнитным фоном. Теоретически различные аспекты поведения дырки изучались в работах [2-4].

Здесь мы рассмотрим вопрос о поглощении звука такими носителями. При этом будем считать, что носители двигаются только в плоскостях, в которых установлен магнитный порядок.

Затухание акустических колебаний будет состоять из слагаемых, соответствующих поглощению подвижными дырками α_h , обычному поглощению из-за магнитострикционных эффектов (объемного и одноионного) [5, 6] α_g и из-за решеточного ангармонизма α_r [7].

Мы вычислим α_h . В качестве модельного гамильтониана используем гамильтониан Хаббарда в атомном пределе $u \gg t$ [8, 9] (где t — интеграл пересека с узла на узел)

$$H = P \sum_{i \tau} t(\tau) C_{i\sigma}^+ C_{i+\tau\sigma} P + \text{э. с.} + \mathcal{J} \sum_{\langle i j \rangle} S_i S_j. \quad (1)$$

Здесь P — оператор проектирования: $P=1$, если действует на состояния с одной дыркой, и $P=0$ в остальных случаях; $\mathcal{J}=4t^2/u$ — константа антиферромагнитного обмена; $C_{i\sigma}^+$, C_i — операторы рождения и уничтожения дырок; S_i — спиновый оператор на узле i . Суммирование по τ ведется по ближайшим соседям.

Взаимодействие со звуковыми колебаниями получим, считая величины $t(\tau)$ и \mathcal{J} зависящими от смещения решетки. Кроме того, в магнетиках необходимо учесть еще магнитострикционные одноионные эффекты [6], приводящие к дополнительному вкладу в коэффициент поглощения звука. В итоге для взаимодействия решетки с подвижными дырками гамильтониан имеет следующий вид:

$$H' = \delta_0 \sum_{\langle i i_1 \rangle} g^\alpha(i - i_1) (u_i^\alpha - u_{i_1}^\alpha) C_{i\sigma}^+ C_{i_1\sigma}, \quad (2)$$

где $g^\alpha(i - i_1) = \nabla_i^\alpha t(i - i_1)$; $g^\alpha(i) = -g^\alpha(-i)$; u_i^α — компонента вектора смещений узла решетки i ; δ_0 — безразмерный параметр допирования.

Остальные слагаемые, которые ответственны за взаимодействие акустических волн в магнетиках, совпадают с приведенными в [6].

Гамильтониан (2) написан в приближении, в котором эффективно проекторы P заменены параметром допиривания δ_0 [1^u]. Физически это соответствует снятию в (2) ограничения на двойное заполнение узла i . Однако, поскольку в кинетической части H (1) проекторы P сохранены, корреляторы, связанные с α_h , будут вычисляться с учетом запрещения двойного заселения узла i . Коэффициент поглощения звука определим обычным образом с помощью уравнения для фононной функции Грина $D_{\alpha\alpha}(t)$

$$-\left(\delta_{\alpha\gamma}\frac{\partial^2}{\partial t^2} + \omega_\lambda(q)l_\alpha(q\lambda)l_\gamma(q\lambda)\right)D_{\gamma\alpha'}(q, t-t') = \\ = i\int_0^\beta dt_1 P_{\alpha\gamma}(q, t-t_1)D_{\gamma\alpha'}(q, t_1-t') + \frac{\delta_{\alpha\alpha'}}{M}\delta_{tt'},$$

где $l_\alpha(q, \lambda)$ — векторы поляризации звуковой волны частоты $\omega_\lambda(q)$; M — масса атома. Поляризационный оператор $P_{\alpha\gamma}$ имеет вид ($qa \ll 1$, a — постоянная решетки в плоскости CuO_2)

$$P_{\alpha\gamma}(q\omega_s) = \frac{\delta_0^2}{2MNa^2} \sum_{j,j_1,\tau\tau_1} g_\alpha(\tau)g_\gamma(\tau_1)\chi_{jj_1}(\omega_s)\exp[-iq(j-j_1)], \quad (3)$$

$$\chi_{jj'}(\omega_s) = \iint_{-\infty}^{\infty} d\omega_1 d\omega_2 \frac{(e^{-\beta\omega_2} - e^{-\beta\omega_1})}{\omega_1 - \omega_2 + i\omega_s} \varphi_{jj'}(\omega_1, \omega_2), \quad (4)$$

$$\varphi_{jj_1}(\omega_1, \omega_2) = \frac{1}{Z} \text{Sp} [\delta(\omega_1 - H) h_{j_1\tau_1} \delta(\omega_2 - H) h_{j\tau}]. \quad (5)$$

Здесь $Z = \text{Sp} \exp(-\beta H)$, $h_{i\tau} = C_{i\sigma}^+ C_{i+\tau\sigma} + \text{с. с.}$, след берется по состояниям H (1).

Коэффициент поглощения звука α_h выражается через мнимую часть $P_{\alpha\gamma}$ и равен (c_λ — скорость звука)

$$\alpha_h(\lambda) = \text{Im}(l_\lambda(q)P_{\alpha\gamma}l_\gamma(q\lambda)) [2\omega_\lambda(q)c_\lambda]^{-1}, \quad (6)$$

$\text{Im} P_{\alpha\gamma} \sim \text{Im} \chi_{jj'}$, и после аналитического продолжения ($i\omega_s \rightarrow \omega_\lambda + i\delta$) в пределе $\omega_\lambda \ll T$ получим

$$\text{Im} \chi_{jj_1}(\omega_\lambda) = \pi\delta\omega_\lambda \int_{-\infty}^{\infty} d\omega e^{-\beta\omega} \varphi_{jj_1}(\omega, \omega + \omega_\lambda). \quad (7)$$

Вычислим (7), суммируя вклады всех диаграмм для функций Грина $G(\omega)$ на квадратной решетке, исключая все замкнутые пути [8]. В этом случае $G(\omega)$ имеет вид

$$G(\omega) = 3\omega^{-1}(1+2f)^{-1}, \quad f = (1 - \omega_0^2/\omega^2)^{1/2}, \quad (8)$$

где $\omega_0 = \sqrt{12}t$ определяет эффективную ширину спектра подвижной дырки [8].

Используемое приближение лучше подходит для движения дырки на антиферромагнитном фоне. Кроме того, анализ [8, 9] строго применим для одной дырки. Чтобы дырки можно было рассматривать независимо, их концентрация $n_h = \delta_0/a^2$ должна быть малой. Более жесткое ограничение связано с конечностью \mathcal{J} . Теория [9] соответствует $\mathcal{J} \rightarrow 0$. Для $\mathcal{J} \neq 0$ приведенные здесь результаты справедливы, если период колебаний много меньше времени обмена $\hbar\mathcal{J}^{-1}$. В реальных ВТСП этому условию удовлетворить трудно даже для очень высокочастотного звука. Поэтому наши результаты носят модельный характер и справедливы для систем, когда $\omega > \mathcal{J}$.

Представим

$$\delta(\omega - H) = (2i\pi)^{-1} [(\omega - H - i\delta)^{-1} - (\omega - H + i\delta)^{-1}]$$

и предположим, что звук распространяется в проводящей плоскости вдоль оси x ($q=(q, 0, 0)$). Выполнив в (3)–(7) суммирование по $\tau\tau'$, получим ($\beta=T^{-1}$, ρ — плотность вещества)

$$\alpha_h(\lambda) = \frac{\hbar\delta_0^2 g^2 q^2 \beta}{2\pi c_\lambda \rho Z} \int_{-4t}^{+t} d\omega \exp(-\beta\omega) \tilde{F}(\omega, \omega + \omega_\lambda), \quad (9)$$

где

$$\begin{aligned} \tilde{F}(\omega_1, \omega_2) &= F(\omega_1 - i\delta, \omega_2 - i\delta) + F(\omega_1 + i\delta, \omega_2 + i\delta) - \\ &\quad - F(\omega_1 - i\delta, \omega_2 + i\delta) - F(\omega_1 + i\delta, \omega_2 - i\delta), \\ F(\omega_1, \omega_2) &= \sum_{i_1, \sigma_1} \text{Sp} \{ (\omega_1 - H)^{-1} C_{i_1 \sigma_1}^+ C_{i_1 + x \sigma_1} (\omega_2 - H)^{-1} C_{i_1 \sigma_1}^+ C_{i_1 - x \sigma_1} + \\ &\quad + (\omega_1 - H)^{-1} C_{i_1 \sigma_1}^+ C_{i_1 + x \sigma_1} (\omega_2 - H)^{-1} C_{i_1 \sigma_1}^+ C_{i_1 + x \sigma_1} \}, \\ g^2 &= |e_a g^\alpha g^\gamma e_\gamma|. \end{aligned} \quad (10)$$

Для вычисления F необходимо суммировать вклады от всех путей, которые состоят из звеньев, соответствующих переходам под действием операторов h_{ix} , H/ω_1 , H/ω_2 [9]. Вклад n -порядка описывается неприводимым графиком (см. рисунок) с начальным и конечным звеном типа h_{ix} и с пристегиванием боковых отростков. В отличие от подвижности [9, 11] вклады от всех путей для α_h будут суммироваться. В итоге для графа порядка n получим

$$F^{(n)}(\omega_1, \omega_2) = G(\omega_1) G(\omega_2) (\alpha_{\omega_1} \alpha_{\omega_2})^{-n} (A_n \alpha_{\omega_1}^2 + B_n + C_n \alpha_{\omega_1}^{-2}), \quad (11)$$

где

$$\begin{aligned} \alpha_{\omega_1} &= \omega t^{-1} (1 + f), \quad A_1 = 0, \quad B_1 = 3, \quad C_1 = 5, \quad A_{2n} = 2^{-1} (3^{2n-1} - 1), \\ A_{2n+1} &= 2^{-1} (3^{2n} + 1), \quad B_{2n} = 3^{2n} + 1, \quad B_{2n-1} = 3^{2n-1} - 1, \\ C_{2n-1} &= 2^{-1} (3^{2n} + 1), \quad C_{2n} = 2^{-1} (3^{2n+1} - 1). \end{aligned}$$

С помощью последней формулы находим

$$\begin{aligned} F(\omega_1, \omega_2) &= G(\omega_1) G(\omega_2) \left[1 + \frac{3}{\alpha_{\omega_1} \alpha_{\omega_2}} + \frac{5}{\alpha_{\omega_1}^3 \alpha_{\omega_2}} + \frac{1 - 1/2 (\alpha_{\omega_1}^2 + \alpha_{\omega_1}^{-2})}{(1 + \alpha_{\omega_1} \alpha_{\omega_2}) \alpha_{\omega_1} \alpha_{\omega_2}} + \right. \\ &\quad \left. + \frac{\omega_1}{\omega_0^2} \frac{18 (\alpha_{\omega_1} \alpha_{\omega_2})^{-1}}{(\alpha_{\omega_1} \alpha_{\omega_2} - 3)} \right]. \end{aligned}$$

Сложив выражения для F , определим $\tilde{F}(\omega, \omega + \omega_\lambda)$. При этом основной вклад не зависит от ω_λ . Окончательно для коэффициента поглощения звука подвижными дырками получим формулу

$$\alpha_h = d^{-1} \alpha_h(\lambda) = \frac{125}{4 \sqrt{2} \pi} \frac{\hbar^2 g^2 q^2}{\rho c_\lambda \omega_0^2 d} (\beta \omega_0)^{1/2}, \quad \omega_0 \ll T \ll \omega_0, \quad (12)$$

$1/d$ — число слоев на единицу длины. Если $\omega_\lambda \gg T \ll \omega_0$, то

$$\alpha_h = \frac{125}{4 \sqrt{2} \pi} \hbar \frac{\hbar^2 g^2 q^2}{\rho c_\lambda \omega_0^2 d} \frac{(\beta \omega_0)^{1/2}}{(\hbar \omega_\lambda \beta)}. \quad (13)$$

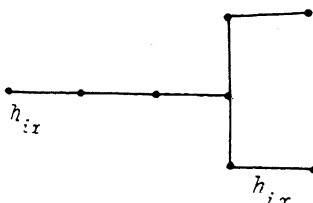
Для сравнения приведем значения коэффициентов поглощения звука в спин-волновом приближении α_J и для случая решеточного ангармонизма [7]

$$\alpha_J \sim \frac{g^2 a}{\hbar \rho c v_s^2 \pi} \frac{aq}{(4J\beta)^3}, \quad \omega \ll T; \quad \alpha_I \sim \frac{\omega T^4}{\rho \hbar^3 v_s^6}, \quad T \ll \theta_{\text{Дебая}}. \quad (14)$$

Как отмечалось выше, формулы (12), (13) применимы в случае, когда $\omega \gg \mathcal{J}$. В реальных материалах, проявляющих высокотемпературную сверхпроводимость, $\mathcal{J} \gg \omega$. Соответствующие выражения для коэффициента поглощения звука можно получить на основании подхода, принятого в [12]. Выражение для поляризационного оператора (3) может быть представлено в следующей форме:

$$\operatorname{Im} P_{\alpha\beta}(q, \omega_\lambda) = \gamma\pi \sum_k \int dx [n(x + \omega_\lambda) - n(x)] C_{\alpha\beta}^2(kx, \omega_\lambda) A(kx) A(kx + \omega_\lambda), \quad (15)$$

где $n(x)$ — больцмановская функция распределения; $\gamma = 2(g_x a)^2 g^2 / MN$; $A(kx)$ — спектральная плотность функции Грина дырки; $C_{\alpha\beta}(k, x, \omega)$ — звуковая вершинная функция, точный вид которой неизвестен, но для



Пример графа, который даёт вклад в $F(\omega_1, \omega_2)$.

частот, близких к дну дырочной зоны, $C_{\alpha\beta} \sim \sim 1$. В формуле (15) используем явный вид $A(k, x + \omega_\lambda)$, соответствующий некогерентной части спектра [12]. Для $A_k(x)$ справедливо полюсное приближение $A_k(x) = a_k \delta(x - \omega_k) \times \times (a_k \approx \mathcal{J}/t)$, так как функция распределения фиксирует значение x около полюса. В итоге с помощью (15) получаем выражение для коэффициента поглощения высокочастотного звука при $\omega \ll \mathcal{J}$. Для случаев RVB [10, 13] и неелевского вакуумов имеем

$$\alpha_{RVB} \approx \hbar (g_x a)^2 g^2 n_h / 2 \rho c_\lambda t^2; \quad \alpha_{Neel} \approx 2 \alpha_{RVB} (\hbar \omega / \mathcal{J}). \quad (16), (17)$$

Таким образом, затухание звука при движении дырки по антиферромагнитному вакууму (17) на 3—4 порядка слабее, чем α_{RVB} .

Оценим различные вклады в коэффициент α . Выберем $\omega_\lambda \lesssim 10^9$ Гц, $q \lesssim 10^4$ см $^{-1}$, $c \sim 10^5$ см/с, $g \sim t/a$, $T \sim 1$ К, $n_h \sim 10^{21}$ см $^{-3}$ ($n_h = \delta_0 / a^2 d$), $a_h \sim 10^{-2}$ см $^{-1}$, $\alpha_l \sim 10^{-4}$ см $^{-1}$, $\alpha_{RVB} \approx 10^{-3} \div 10^{-2}$ см $^{-1}$.

В заключение авторы благодарят Ю. М. Гальперина и В. И. Козуба за обсуждение работы и критические замечания.

Список литературы

- [1] Vaknin D. e. a. // Phys. Rev. Lett. 1987. V. 58. N 26. P. 2802—2806; Mitsuda S. e. a. // Phys. Rev. B. 1987. V. 36. N 1. P. 822—825; Freltoft T. e. a. // Phys. Rev. B. 1987. V. 36. N 1. P. 826—828.
- [2] Глазман Л. И., Иоселевич А. С. // Письма в ЖЭТФ. 1988. Т. 47. № 8. С. 464—467.
- [3] Барабанов А. Ф., Максимов Л. А., Уймин Г. В. // Письма в ЖЭТФ. 1988. Т. 47. № 10. С. 532—535.
- [4] Горьков Л. П., Сокол А. В. // Письма в ЖЭТФ. 1988. Т. 48. № 9. С. 505—509.
- [5] Каганов М. И., Цукерник В. М. // ЖЭТФ. 1959. Т. 36. № 1. С. 224—236.
- [6] Bennett H. S., Pytte E. // Phys. Rev. 1967. V. 155. N 2. P. 553—563.
- [7] Гуревич В. Л. Кинетика фононных систем. М., 1980. 400 с.
- [8] Nagaoka J. // Phys. Rev. 1966. V. 147. N 1. P. 392—409.
- [9] Brinkman W. T., Rice T. M. // Phys. Rev. B. 1970. V. 2. N 5. P. 1324—1338.
- [10] Baskaran G., Zou Z., Anderson P. W. // Sol. St. Comm. 1987. V. 63. N 11. P. 973—976.
- [11] Rice T. M., Zheng F. C. // Phys. Rev. B. 1989. V. 39. N 1. P. 815—818.
- [12] Kane C. L., Lee P. A., Read N. // Phys. Rev. B. 1989. V. 39. N 10. P. 6880—6997.
- [13] Marston J. B., Affleld I. // Phys. Rev. B. 1989. V. 39. N 16. P. 11538—11558.

Отдел энергетической
кибернетики АН МССР
Кишинев

Поступило в Редакцию
21 сентября 1989 г.
В окончательной редакции
20 декабря 1989 г.